

北大工学部 学生員 阿部 茂  
 正員 佐伯 浩  
 竹中土木(株) 正員 小野 邦夫

## 1. 緒言

著者らは、オホーツク海沿岸の海水および流水における力学的性質について研究してきたが、本文はその研究の一環として海洋、海岸構造物に作用する水圧力算定の基礎となる氷厚および海水強度の時間的变化を取扱う。

## 2. 実験方法

本実験は、1975年2月、1976年2~3月、1977年1~3月にサロマ湖富士において、サロマ湖内および常呂海岸から採取した試料を用いて一軸圧縮試験を行なった。圧縮試験の供試体は直径10cm、高さ20cmの円筒形供試体で、歪速度 $\dot{\epsilon}$ は最大強度を示す  $0.003 \text{ sec}^{-1}$ である。同時に供試体密度  $\rho$   $\text{kg}/\text{m}^3$ 、塩分量  $S\%$ 、水温  $T^\circ\text{C}$ を測定した。

## 3. 実験結果と考察

(1) 圧縮強度  $\sigma_n$  と密度  $\rho$  の関係 田畠や Peyton の結果から、海水の強度に及ぼす因子として、海水の結晶の形と大きさ、気泡量、気孔量、Brine量、水温、荷重速度等があげられるが、Brine量を表すものとして塩分量  $S$  を測定し、気泡量、気孔量を代表するものとして密度  $\rho$  を測定し、圧縮強度  $\sigma_n$  との関係を調べると、塩分量  $S$  と圧縮強度  $\sigma_n$  には、直接的には明瞭な相関が見られないが、たがいに密度  $\rho$  と圧縮強度  $\sigma_n$  ( $\text{kg}/\text{cm}^2$ ) は、水温  $T$  をパラメータとして、近似的に Fig. 1 の様な直線的関係を示す。

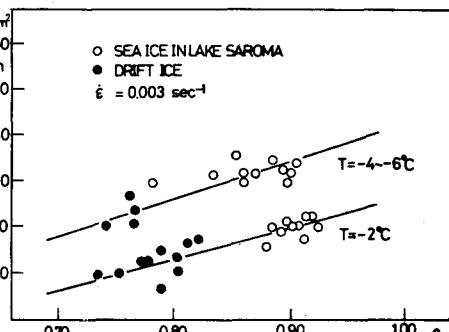


Fig. 1

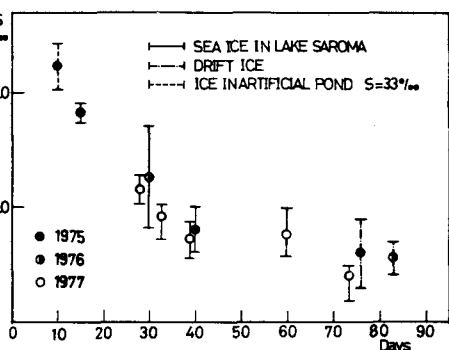


Fig. 2

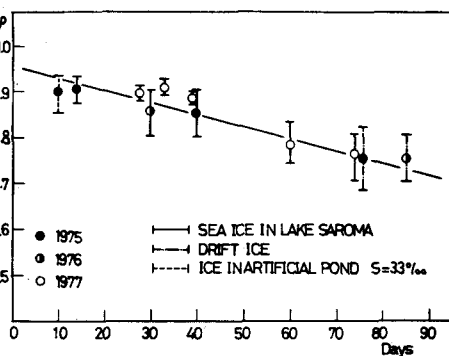


Fig. 3

(3) 密度  $\rho$  と経過日数の関係 Fig. 3 に密度  $\rho$  と経過日数との関係を示す。密度  $\rho$  は経過日数に伴いほぼ直線的に減少し、流水（結氷後70~80日）においても、ほぼ同程度の値を示す。これは、サロマ湖内の海水と流水とは本質的には大きな違いではなく経過日数が異なるものであると考え得る。

(4) 圧縮強度  $\sigma_n$  と経過日数 試験において、圧縮強度  $\sigma_n$  は時間と共に減少していく。これは海水の密度の減少とよく対応している。密度  $\rho$  と圧縮強度  $\sigma_n$  の関係、密度  $\rho$  と経過日数の関係より圧縮強度  $\sigma_n$  と経過日数との関係を Fig. 4 に示す。これは結氷直後に最大強度を示し、経過日数に伴って直線的に減少する。

(5) 氷圧力と経過日数 氷圧力の算定には、各国で様々な算定公式を使用しているが、著者らは海水の杭構造物に及ぼす氷圧力を以下式を提示している。

$$F = 5.0 \cdot \sigma_n h \cdot D^{0.5}$$

但し、下: 氷圧力 (kg),  $\sigma_n$ : 圧縮強度 ( $\text{kg}/\text{cm}^2$ ),  $h$ : 氷厚 (cm),  $D$ : 杭口径 (cm)

この式では、氷圧力は圧縮強度  $\sigma_n$  と厚さ  $h$  に比例する。また、氷厚と積算寒度に関して次の様な実験式を得ている。

$$h = 1.31 (\Sigma T)^{0.61}$$

但し、 $h$ : 氷厚 (cm),  $\Sigma T$ : 積算寒度 ( $^{\circ}\text{C} \cdot \text{day}$ )

この式に '73, '74 年度毎別沿岸の気温をモデル化したものと Fig. 5 に示す。沿岸氷の場合、結氷から約 20 日程度で最大氷厚を示し、以後は気温の上昇により氷の融解が生じ、氷厚は減少する。Fig. 4 より圧縮強度  $\sigma_n$  は経過日数に伴って減少し、Fig. 5 より氷厚は経過日数に伴って増加する。以上の事実より  $\sigma_n \times h$  は経過日数の関数として表される。この関係を Fig. 6 に示す。この圧縮強度  $\sigma_n$  と氷厚  $h$  の積の最大値は必ずしも氷厚最大の時ではない。海洋、海岸構造物に及ぼす氷圧力の設計外力を見積る場合  $\sigma_n$ ,  $h$  各々の最大値から求められる方法もあるが、 $\sigma_n \times h$  の最大値をもって算定するのか適切であると考える。Fig. 6 より  $\sigma_n \times h$  は結氷後 50 ~ 60 日すなわち 2 月下旬から 3 月上旬にかけて最大値を示し、下方氷温 -2°C で約 650 kg/cm, -4 ~ -6°C で 1200 ~ 1300 kg/cm を示す。海水の大半は海中に没している為、海水温は水温の影響を強く受ける。海水塩分量 33‰ のオホーツク海では、結氷温度は約 -1.7°C で、海水底面においてこの温度を保つ。また北大低温研の調査によるとオホーツク海沿岸の海水温は大部分 -1.5 ~ -4.0°C であるという報告がある。さらに気温により -4°C 以下に冷却されるであろう上面の氷は、ごく表層であり、かく下層部 Mosaic Ice と異なり、Granular Ice であり、その強度は弱い。それ故、海水全体の氷温にて安全側をとる -4°C とする。氷圧力算定における  $\sigma_n \times h$  の最大可能値は 1300 kg/cm 程度である。しかし流氷の場合には、それがどの地点で、どの時期に結氷し、どのような成長条件におかれできたのか正確に把握することができない。流氷に関しては、今後さらに詳細な研究が必要である。

### 参考文献

佐伯、齊謙、渋中、尾崎 海岸構造物に作用する海水の力に関する研究(1)(2) 第 22, 23 回海講論文集  
北大低温科学研究所 低温科学

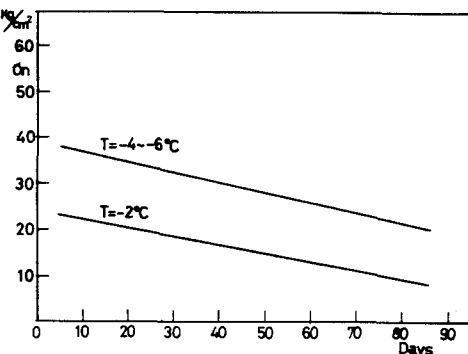


Fig. 4

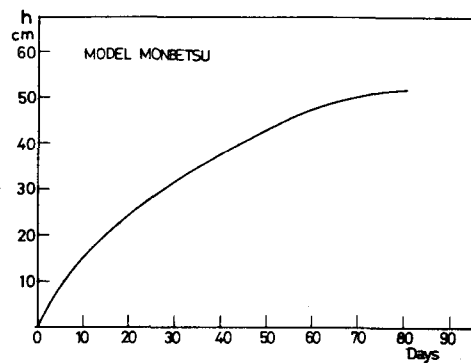


Fig. 5

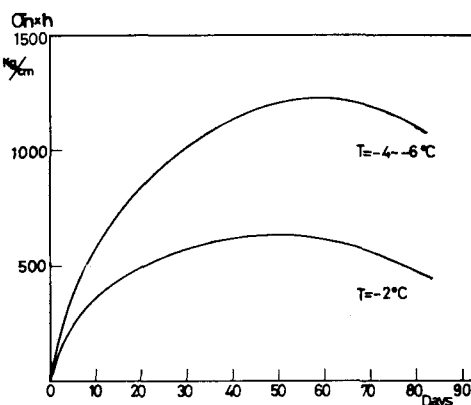


Fig. 6